

Fiume Mincio

Opere idrauliche di II categoria

MN-E-394-M

CUP: **B64H15000070002**

CIG:



Progetto Definitivo / Esecutivo

Lotto **B**

ELABORATO

Prova HVSR

UBICAZIONE OPERE
Comune di Mantova
Località Ponte dei Mulini

DATA: Agosto 2018

AGG. -

SCALA:

-

COMMITTENTE

AIPO - Ufficio operativo di Mantova

Vicolo Canove, 26 - 46100 Mantova

tel. + 39 0376320461

fax. + 39 0376320464

e-mail: ufficio-mn@agenziapo.it

Raggruppamento temporaneo d'impresa

POLARIS - STUDIO ASSOCIATO



HYDRODATA S.p.a.



ENGE S.r.l.



SAP S.r.l.



Responsabile unico del procedimento

Ing. Ivano Galvani

Il Coordinatore alla Progettazione

Ing. Marcello Moretti

Assistente

Dott. Paolo Michelini

Lavori di ripristino funzionale del manufatto a sostegno del Lago Superiore denominato "Vasarone", a seguito degli eventi sismici del 20 e 29 maggio 2012

2.b.11

PROGETTO:	(MN-E-394-M) Lavori di ripristino funzionale del manufatto a sostegno del Lago Superiore denominato "Vasarone", a seguito degli eventi sismici del 20 e 29 maggio 2012, ubicato in località Porta Mulina in Comune di Mantova
------------------	---

PROVA HVSR

Comune Mantova	Località Porta Mulina	
Cantiere Vasarone	Data 28/11/2017	Ora 10.09
Codice lavoro AIPO.15.1728		
Codice Prova T1	File Vasar1	Durata (min) 20
Strumento Echo Tromo HVSR3	Freq.camp. 155 Hz	F. sensore 2.0 Hz
Operatore Dott. Geol. Carlo Caleffi		

CONDIZIONI ATMOSFERICHE

Vento	<input checked="" type="checkbox"/> assente	<input type="checkbox"/> debole (<5m/s)	<input type="checkbox"/> medio (5>v>30 m/s)	<input type="checkbox"/> forte (>30 m/s)
Pioggia	<input checked="" type="checkbox"/> assente	<input type="checkbox"/> debole	<input type="checkbox"/> media	<input type="checkbox"/> forte

TERRENO DI PROVA

Suolo	<input type="checkbox"/> argilloso-limoso soffice	<input type="checkbox"/> argilloso-limoso duro	<input type="checkbox"/> con erba	<input type="checkbox"/> senza erba
	<input checked="" type="checkbox"/> ghiaia	<input type="checkbox"/> sabbia	<input type="checkbox"/> roccia	
	<input type="checkbox"/> suolo asciutto	<input type="checkbox"/> suolo umido	<input checked="" type="checkbox"/> suolo saturo	
Pavimentazione artificiale	<input type="checkbox"/> rilevato in ghiaia	<input type="checkbox"/> cemento/cls	<input type="checkbox"/> asfalto	<input type="checkbox"/> ceramica
	<input type="checkbox"/> altro:			
Accoppiamento sensore	<input checked="" type="checkbox"/> piedini infissi	<input type="checkbox"/> piedini da pavimento	<input type="checkbox"/> accoppiamento artificiale	<input type="checkbox"/> sabbia <input type="checkbox"/> altro


STRUTTURE CIRCOSTANTI

Abitazioni	<input checked="" type="checkbox"/> assenti	<input type="checkbox"/> sparse	<input type="checkbox"/> fitte	<input type="checkbox"/> molto fitte
Fabbriche	<input checked="" type="checkbox"/> assenti	<input type="checkbox"/> sparse	<input type="checkbox"/> fitte	<input type="checkbox"/> molto fitte
Ponti	<input type="checkbox"/> assenti		<input checked="" type="checkbox"/> presenti	
Strutt. sotterranee	<input type="checkbox"/> assenti		<input checked="" type="checkbox"/> presenti:	
Piante	<input type="checkbox"/> assenti	<input checked="" type="checkbox"/> sparse	<input type="checkbox"/> fitte	<input type="checkbox"/> molto fitte

SORGENTI RUMORE

Disturbo discontinuo		assente	raro	moderato	forte	molto forte	Distanza (m)
	auto						✓
camion		✓					
passanti				✓			
altro		✓					
Disturbo cont.	<input checked="" type="checkbox"/> assente		<input type="checkbox"/> presente:				

OSSERVAZIONI:

 EN GEO S.r.l. ENGINEERING GEOLOGIST	Elaborato	Data	Agg.	Pag.
	Report indagine HVSR	Gennaio 2018	0	1 di 6

Tracce in input

Dati riepilogativi:

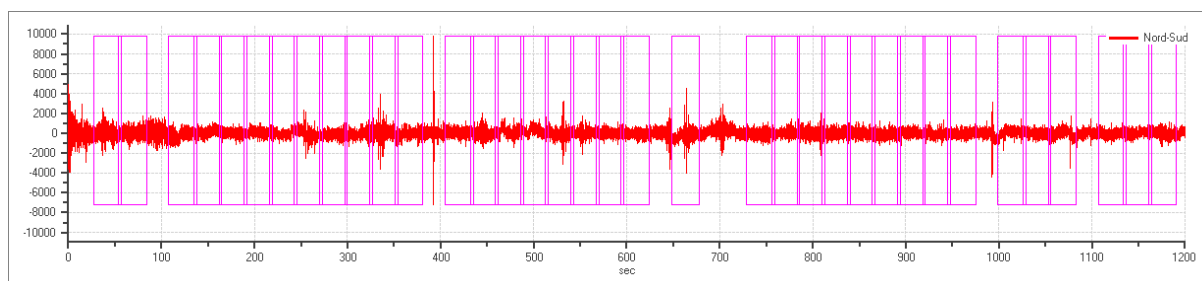
Numero tracce: 3
 Durata registrazione: 1200 s
 Frequenza di campionamento: 155.00Hz
 Numero campioni: 186000
 Direzioni tracce: Nord-Sud; Est-Ovest; Verticale.

Finestre selezionate

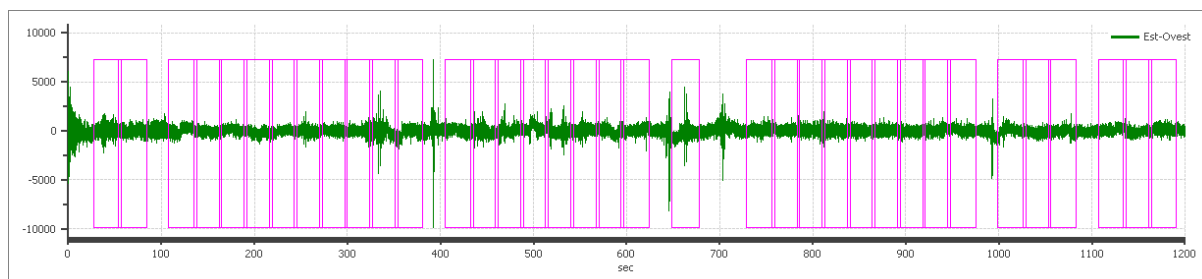
Dati riepilogativi:

Numero totale finestre selezionate: 36
 Numero finestre incluse nel calcolo: 32
 Dimensione temporale finestre: 30.00 s
 Tipo di lisciamento: Triangolare proporzionale
 Percentuale di lisciamento: 10.00 %

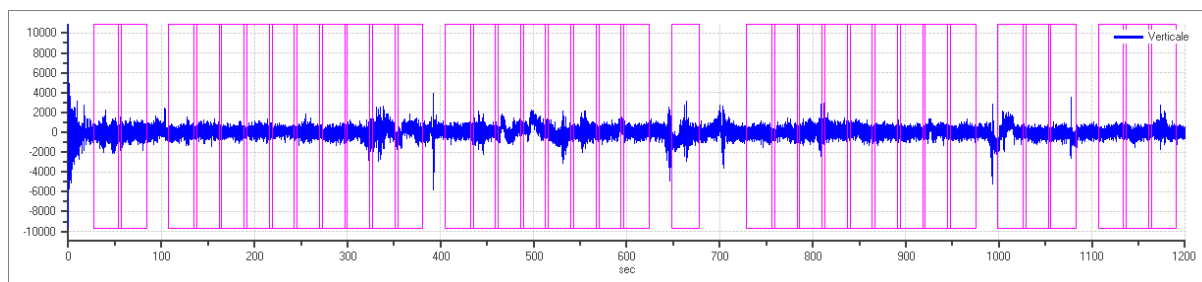
Grafici tracce con finestre selezionate:



Traccia e finestre selezionate in direzione Nord-Sud

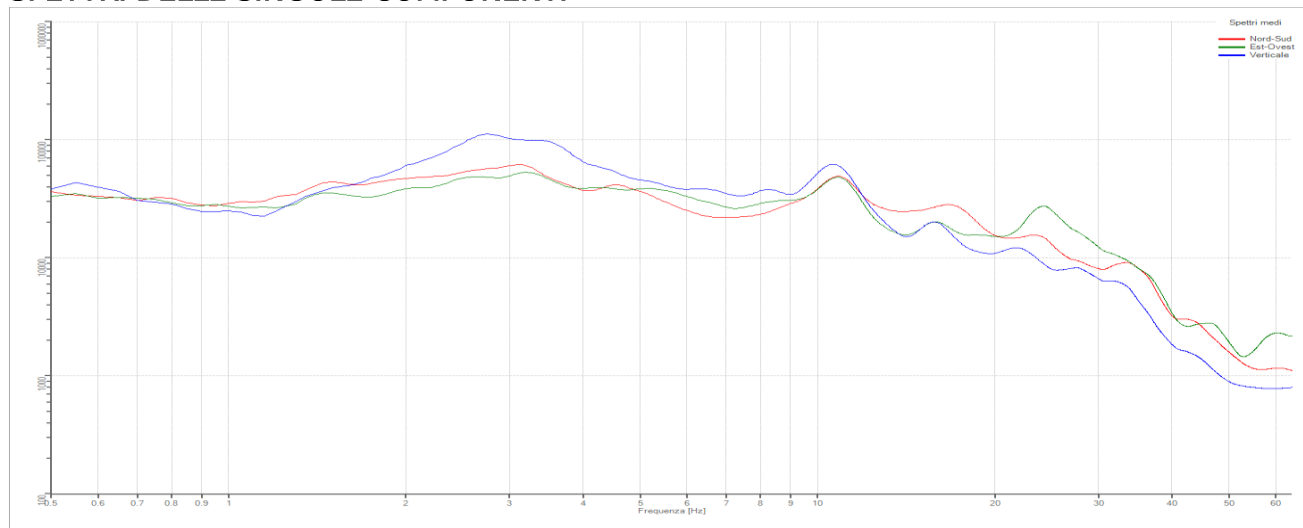


Traccia e finestre selezionate in direzione Est-Ovest



Traccia e finestre selezionate in direzione Verticale

SPETTRI DELLE SINGOLE COMPONENTI



Rapporto spettrale H/V

Dati riepilogativi:

Frequenza massima: 64.00 Hz
 Frequenza minima: 0.50 Hz
 Passo frequenze: 0.05 Hz
 Tipo di somma direzionale: Media quadratica

Risultati:

Frequenza del picco del rapporto H/V: 24.60 Hz \pm 0.09 Hz

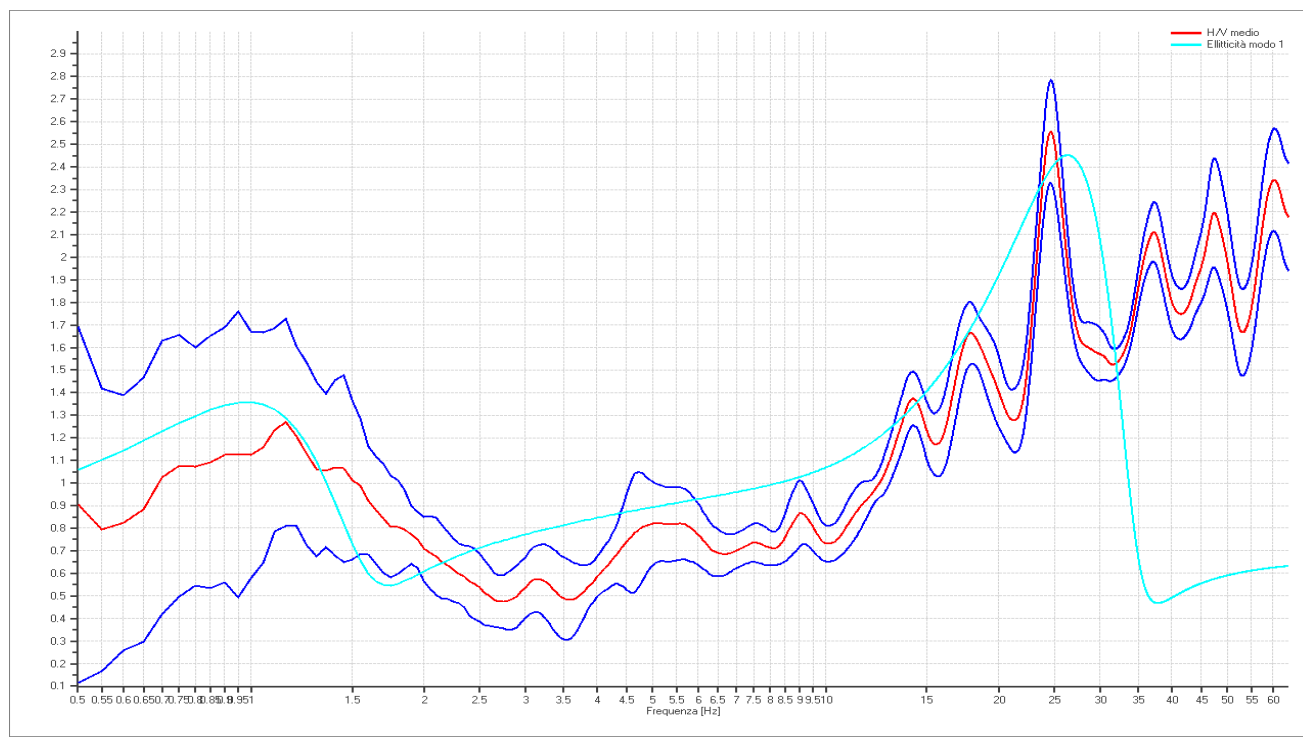
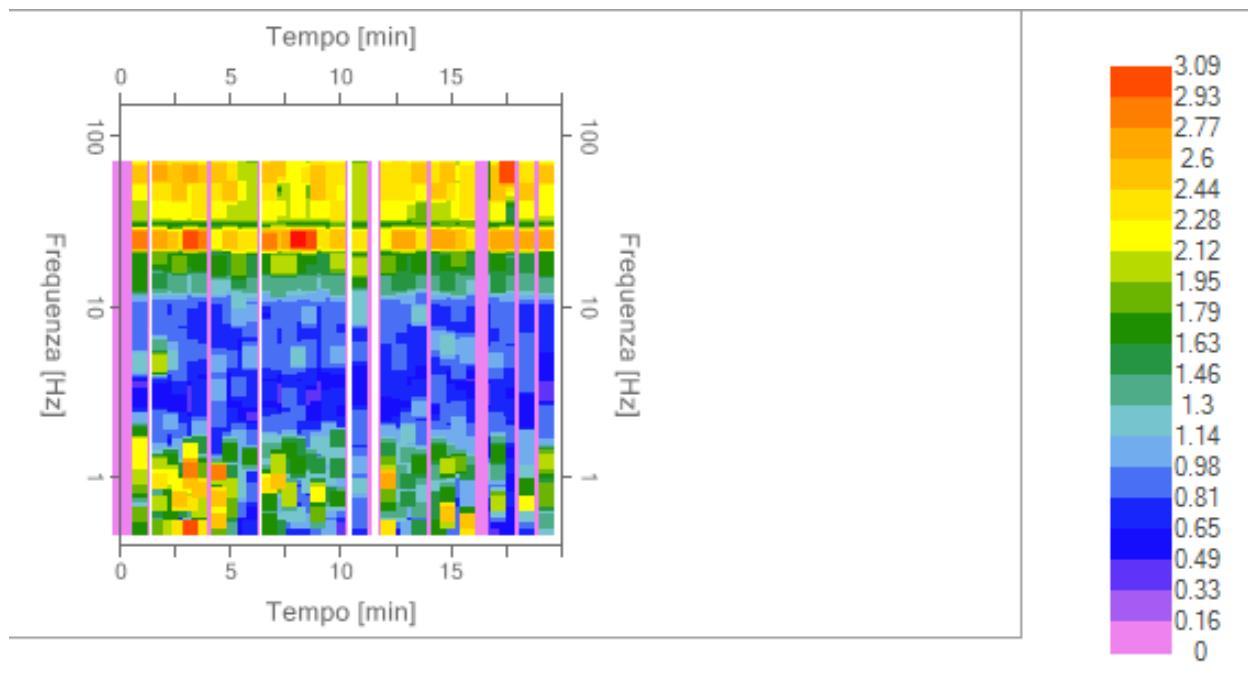
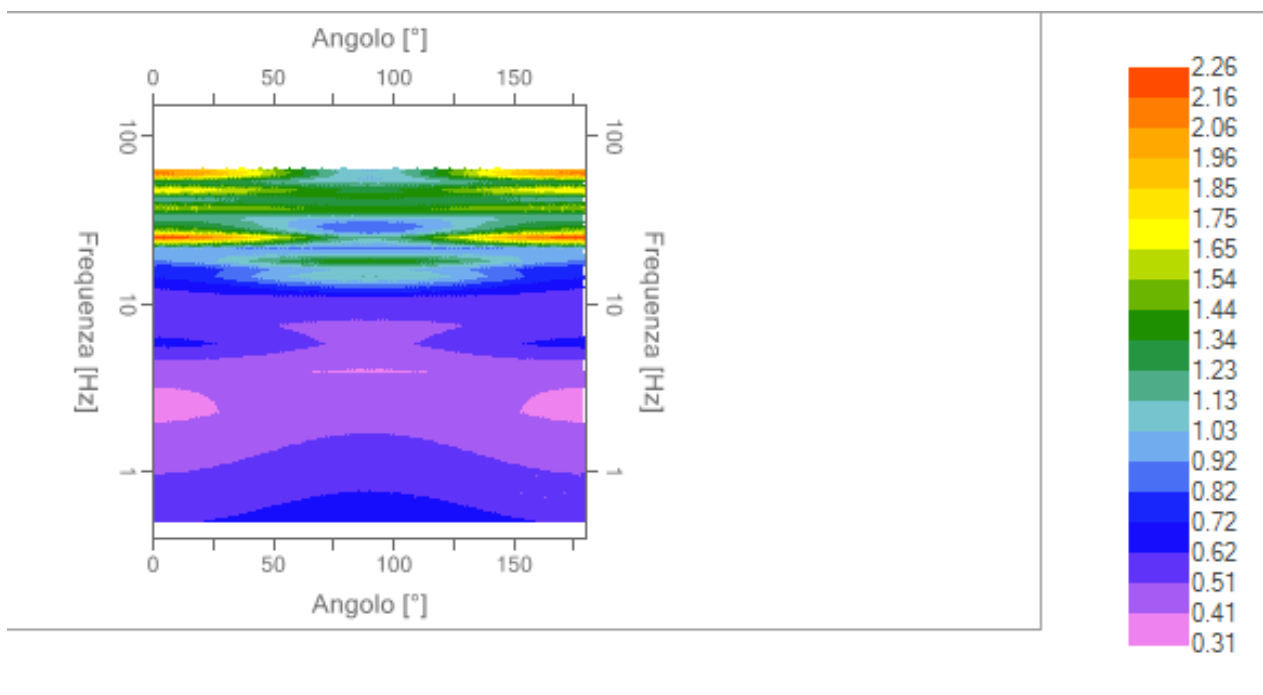


Grafico rapporto spettrale H/V naturale ed intervallo di fiducia

PROGETTO: (MN-E-394-M) Lavori di ripristino funzionale del manufatto a sostegno del Lago Superiore denominato "Vasarone", a seguito degli eventi sismici del 20 e 29 maggio 2012, ubicato in località Porta Mulina in Comune di Mantova



Mappa della stazionarietà degli spettri



DIREZIONALITA' H/V

Modello stratigrafico


Dati riepilogativi:

Numero strati: 6

Frequenza del picco dell'ellitticità: 26.35 Hz

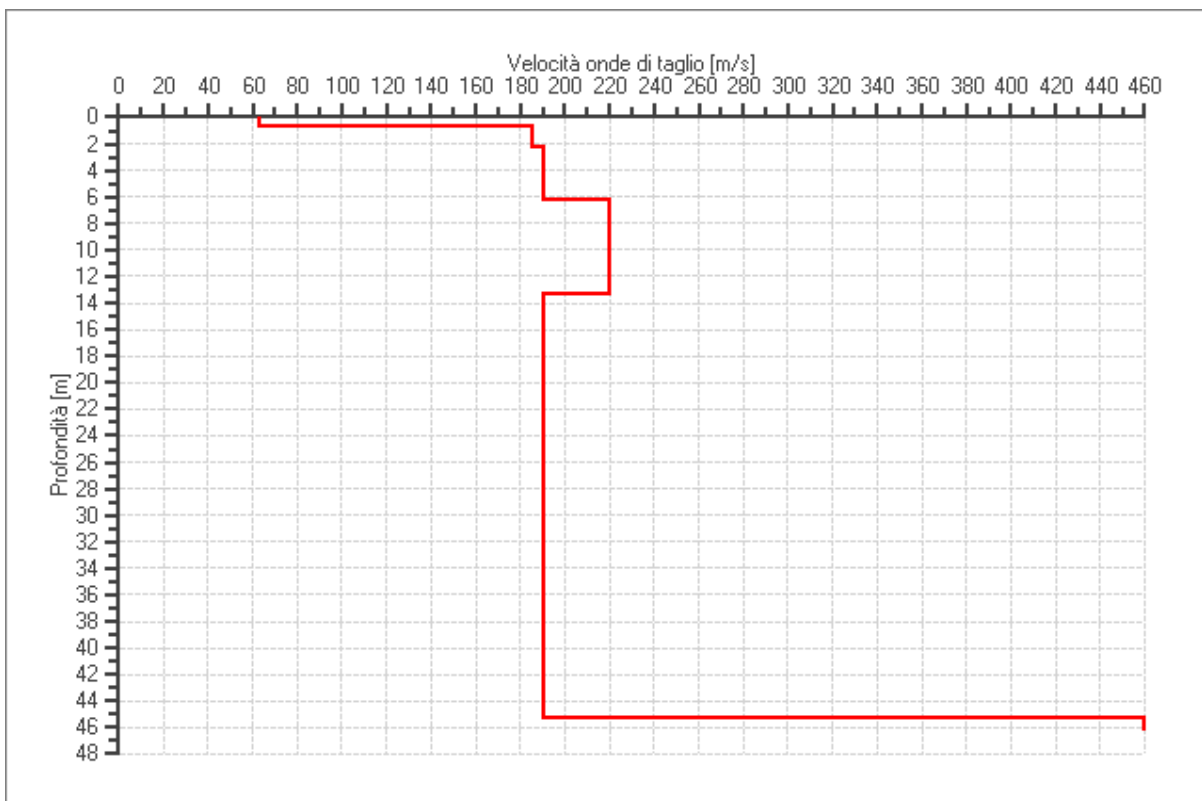
Valore di disadattamento: -1.00

Valore Vs30 (dal piano di posa della fondazione): **187 m/s**

 EN GEO S.r.l. ENGINEERING GEOLOGIST	Elaborato	Data	Agg.	Pag.
	Report indagine HVSR	Gennaio 2018	0	4 di 6

Dati della stratigrafia:

Strato	Profondità [m]	Spessore [m]	Peso per Unità di Vol. [kN/m ³]	Coeff. di Poisson	Velocità onde di taglio [m/s]
1	0	0.7	18.5	0.3	63
2	0.7	1.6	18	0.3	185
3	2.3	4	18	0.3	190
4	6.3	7	18	0.3	220
5	13.3	32	18	0.3	190
6	45.3	-	18	0.3	460



PROFILO DELLE VELOCITÀ DELLE ONDE DI TAGLIO

PROGETTO:	(MN-E-394-M) Lavori di ripristino funzionale del manufatto a sostegno del Lago Superiore denominato "Vasarone", a seguito degli eventi sismici del 20 e 29 maggio 2012, ubicato in località Porta Mulina in Comune di Mantova
-----------	---

Verifica secondo le linee guida SESAME, 2005

Picco H/V a 24.60 ± 0.09 Hz (nell'intervallo 0.50– 64.0 Hz).

Criteri per una curva H/V affidabile [Tutti 3 dovrebbero risultare soddisfatti]		
$f_0 > 10 / L_w$	OK	
$n_c(f_0) > 200$	OK	
$\sigma_A(f) < 2$ per $0.5f_0 < f < 2f_0$ se $f_0 > 0.5\text{Hz}$ $\sigma_A(f) < 3$ per $0.5f_0 < f < 2f_0$ se $f_0 < 0.5\text{Hz}$	OK	
Criteri per un picco H/V chiaro [Almeno 5 su 6 dovrebbero essere soddisfatti]		
Esiste f^- in $[f_0/4, f_0]$ $A_{H/V}(f^-) < A_0 / 2$	OK	
Esiste f^+ in $[f_0, 4f_0]$ $A_{H/V}(f^+) < A_0 / 2$	NO	
$A_0 > 2$	OK	
$f_{\text{picco}} [A_{H/V}(f) \pm \sigma_A(f)] = f_0 \pm 5\%$	OK	
$\sigma_f < \varepsilon(f_0)$	OK	
$\sigma_A(f_0) < \theta(f_0)$	OK	

L_w	lunghezza della finestra
n_w	numero di finestre usate nell'analisi
$n_c = L_w n_w f_0$	numero di cicli significativi
f	frequenza attuale
f_0	frequenza del picco H/V
σ_f	deviazione standard della frequenza del picco H/V
$\varepsilon(f_0)$	valore di soglia per la condizione di stabilità $\sigma_f < \varepsilon(f_0)$
A_0	ampiezza della curva H/V alla frequenza f_0
$A_{H/V}(f)$	ampiezza della curva H/V alla frequenza f
f^-	frequenza tra $f_0/4$ e f_0 alla quale $A_{H/V}(f^-) < A_0/2$
f^+	frequenza tra f_0 e $4f_0$ alla quale $A_{H/V}(f^+) < A_0/2$
$\sigma_A(f)$	deviazione standard di $A_{H/V}(f)$, $\sigma_A(f)$ è il fattore per il quale la curva $A_{H/V}(f)$ media deve essere moltiplicata o divisa
$\sigma_{\log H/V}(f)$	deviazione standard della funzione $\log A_{H/V}(f)$
$\theta(f_0)$	valore di soglia per la condizione di stabilità $\sigma_A(f) < \theta(f_0)$

Valori di soglia per σ_f e $\sigma_A(f_0)$					
Intervallo di freq. [Hz]	< 0.2	0.2 – 0.5	0.5 – 1.0	1.0 – 2.0	> 2.0
$\varepsilon(f_0)$ [Hz]	$0.25 f_0$	$0.2 f_0$	$0.15 f_0$	$0.10 f_0$	$0.05 f_0$
$\theta(f_0)$ per $\sigma_A(f_0)$	3.0	2.5	2.0	1.78	1.58
$\log \theta(f_0)$ per $\sigma_{\log H/V}(f_0)$	0.48	0.40	0.30	0.25	0.20